

SERIE DI FOURIER

1

La serie di Fourier è uno strumento matematico che permette di rappresentare, sotto ipotesi abbastanza larghe, i segnali periodici come somme (eventualmente infinite) di esponenziali immaginari puri e anche come somme di sinusoidi in forme canonica.

Perché è interessante?

- Perché è sempre utile disporre di più rappresentazioni di un segnale. Per esempio, sarà facile determinare la resezione di un LTI ed un ingresso periodico generico noto la sua serie di Fourier.
- Inoltre è interessante osservare che lo SdF è a tutti gli effetti un segnale t. discreto: quindi un insieme discreto (numerabile di coefficienti) permette di descrivere completamente un segnale t. c.

Principio di base delle S.d.F.

L'idea è quella di considerare i segnali periodici come elementi di uno spazio di Hilbert (lo spazio Euclideo normato a dimensione infinita). Si trova quindi una base ortonormale per lo spazio. Infine ogni elemento è rappresentato tramite la base o.n.

Richiami sugli spazi di funzioni

L2

Per prima cosa, osserviamo che un segnale t.c. periodico di periodo T può essere identificato con la sua restrizione ad un qualsiasi intervallo di ampiezza T , in quanto noto l'uno è nota l'altro e viceversa.

Cominciamo allora a considerare i segnali definiti fra $-T/2$ e $T/2$. Al momento opportuno faremo il collegamento con i segnali periodici.

Gli spazi di interesse sono:

c) $L^\infty(-T/2, T/2) = \{x: (-T/2, T/2) \rightarrow \mathbb{C} \text{ tali che } \exists M_x \in \mathbb{R}^+ \text{ e}$
 $\forall t \in (-T/2, T/2), |x(t)| < M_x\}$

È uno spazio vettoriale normato

Inoltre $\|x\|_\infty = \sup_{t \in (-T/2, T/2)} \{|x(t)|\}$ è una norma in tale spazio

b) $L^2(-T/2, T/2) = \{x: (-T/2, T/2) \rightarrow \mathbb{C} \text{ tali che } \int_{-T/2}^{T/2} |x(t)|^2 dt < +\infty\}$

In Tale spazio possiamo definire il prodotto scalare:

$$\text{Se } x, y \in L^2(-T/2, T/2), \quad \langle x, y \rangle = \int_{-T/2}^{T/2} x(t) \overline{y(t)} dt$$

È la norma $\|x\|_2 = \sqrt{\langle x, x \rangle}$

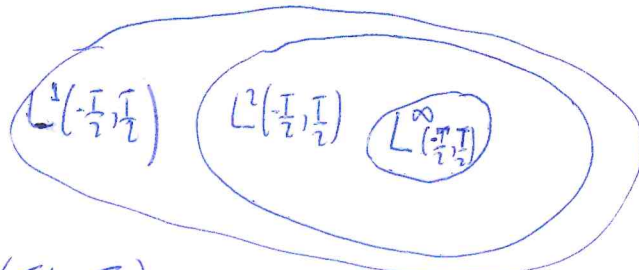
$L^2(-T/2, T/2)$ è uno spazio di Hilbert (Eudello, normato, di dim. infinita e completo)

$$c) L^1(-T_h, T_h) = \left\{ x: (-T_h, T_h) \rightarrow \mathbb{C} \text{ tale che } \int_{-T_h}^{T_h} |x(t)| dt < +\infty \right\} \quad [3]$$

È uno spazio vettoriale normato. Infatti

$$\|x\|_1 = \int_{-T_h}^{T_h} |x(t)| dt \text{ è una norma per tale spazio}$$

Relazione d'inclusione



1) Tutti i segnali limitati in $(-T_h, T_h)$ sono
e energie finite in $(-T_h, T_h)$ $\Leftrightarrow L^\infty(-\frac{T}{2}, \frac{T}{2}) \subset L^2(-\frac{T}{2}, \frac{T}{2})$

2) Tutti i segnali e energie finite in $(-T_h, T_h)$ sono
assolutamente integrabili in $(-T_h, T_h)$ $\Leftrightarrow L^2(-\frac{T}{2}, \frac{T}{2}) \subset L^1(-\frac{T}{2}, \frac{T}{2})$

Dim 1. $x \in L^\infty(-T_h, T_h) \Rightarrow \forall t \in (-T_h, T_h) |x(t)| < M_x$

$$\Rightarrow \int_{-T_h}^{T_h} |x(t)|^2 dt \leq \int_{-T_h}^{T_h} M_x^2 dt = M_x^2 T < +\infty \Rightarrow x \in L^2(-T_h, T_h)$$

Dim 2. Se $x \in L^2(-T_h, T_h)$

$$\text{Se } I = \left\{ t \in (-T_h, T_h) : |x(t)| < 1 \right\}$$

e se J il complemento a I in $(-T_h, T_h)$

contro esempio:
 $|x|^{-1/2} \in L^1$ ma $\notin L^2$

Allora $\int_{-T_h}^{T_h} |x(t)|^2 dt = \int_I |x(t)|^2 dt + \int_J |x(t)|^2 dt$

Mostriamo che i due integrali sono finiti:
Questo implica $x \in L^1(\frac{T}{2}, \frac{T}{2})$

$$\text{Ma } \int_I |x(t)| dt \leq \int_I dt = \text{Misura}(I) \leq T$$

e, siccome $\forall t \in J |x(t)| \geq 1 \Rightarrow \forall t \in J |x(t)| \leq |x(t)|^2$ e quindi:

$$\int_J |x(t)| dt \leq \int_J |x(t)|^2 dt \leq \int_{-T_h}^{T_h} |x(t)|^2 dt = \|x\|_h^2 < +\infty$$

Esponenziali in relazione armonico

14

Nel seguito, consideriamo un $T \in \mathbb{R}^+$ fisso.

T sarà il periodo delle funzioni periodiche che considereremo

Sia inoltre $f_0 = \frac{1}{T}$ la frequenza

e $\omega_0 = \frac{2\pi}{T} = 2\pi f_0$ la pulsazione

Consideriamo adesso, $\forall k \in \mathbb{Z}$ il segnale, definito su \mathbb{R} ,

$$\varphi_k(t) = e^{jk\omega_0 t} = e^{j2\pi f_0 t} = e^{j\frac{2\pi}{T} kt}$$

Se $k \neq 0$, allora

Tale segnale è periodico di periodo fondamentale: $\frac{T}{|k|}$.

Allora $\forall n \in \mathbb{Z}$, φ_n è periodico di periodo T : onde per $n=0$ perché $\varphi_0 = 1$

Inoltre $\forall t \in \mathbb{R}$, $|\varphi_n(t)| = 1 \Rightarrow \varphi_n \in L^\infty(\mathbb{R})$

Osserviamo anche che $\varphi_k = \varphi_{-k}$ (φ_k elevato a k)

Se consideriamo la restrizione di $\varphi_k(t)$ a $(-T_h, T_h)$,

si tratta ovviamente di un segnale in $L^\infty(-T_h, T_h)$ e quindi anche $L^2(-T_h, T_h) \subset L^1(-T_h, T_h)$

Nel seguito useremo lo stesso notazione φ_k sia per indicare il segnale definito su \mathbb{R} sia la sua restrizione a $(-T_h, T_h)$

Dal contesto si chiasserà a quale dei due segnali facciamo riferimento. Se non detto esplicitamente altrimenti, si farà riferimento ad entrambi i casi.

L'insieme $\{\varphi_k\}_{k \in \mathbb{Z}}$ è detto insieme

S

degli esponenziali in relazione armonica (su $\mathbb{R} \circ [0, \frac{T}{2}, \frac{T}{2}]$)

Gli esp. in rel. arm. su \mathbb{R} sono autofunzioni degli LTI
ma hanno anche un'altra proprietà importantissima: le restrizioni
a $(-T_h, T_h)$ formano una base di $L^2(-T_h, T_h)$

Non dimostreremo questo risultato, ma almeno mostriamo che
gli elementi di $\{\varphi_k\}_{k \in \mathbb{Z}}$ sono ortogonali. Tra loro in $L^2(-\frac{T}{2}, \frac{T}{2})$

LEMMA In $L^2(-\frac{T}{2}, \frac{T}{2})$, $\forall k, h \in \mathbb{Z}$, $\langle \varphi_h, \varphi_k \rangle = T \delta(h-k)$

cioè $\langle \varphi_h, \varphi_k \rangle = \begin{cases} T & \text{se } h=k \\ 0 & \text{altrimenti} \end{cases}$

Δ Siamo della di Kronecker
considerando lo spazio euclideo (\mathbb{C}^{-T_h, T_h})
con la corrispondente def. di pr. scalare

DIM. $\langle \varphi_h, \varphi_k \rangle = \int_{-\frac{T}{2}}^{\frac{T}{2}} \varphi_h(t) \overline{\varphi_k(t)} dt = \int_{-T_h}^T e^{j h w_0 t} e^{-j k w_0 t} dt$

$$= \int_{-T_h}^{T_h} e^{j(h-k)w_0 t} dt$$

Se $h=k$, questo integrale da T

altrimenti ($h \neq k$) abbiamo $\langle \varphi_h, \varphi_k \rangle = \left[\frac{e^{j(h-k)w_0 t}}{j(h-k)w_0} \right]_{-T_h}^{T_h}$

$$= \frac{1}{j(h-k)w_0} \left(e^{j(h-k)w_0 \frac{T}{2}} - e^{-j(h-k)w_0 \frac{T}{2}} \right) = \frac{2}{(h-k)w_0} \sin((h-k)w_0 \frac{T}{2})$$

Ma $(h-k)w_0 \frac{T}{2} = (h-k) \cdot \frac{2\pi}{T} \cdot \frac{T}{2} = (h-k)\pi \Rightarrow \langle \varphi_h, \varphi_k \rangle = 0 \quad \forall h \neq k$

Quindi l'insieme $\{\varphi_k\}$ è un insieme infinito di vettori ortogonali in $L^2(-T_h, T_h)$.

Si può dimostrare che effettivamente è uno base:

Teorema di Riesz-Fischer

• Si è $x \in L^2(-T_h, T_h)$ con $T > 0$ e $w_0 = \frac{L\pi}{T}$

• Definiamo la successione bilatera:

$$\forall k \in \mathbb{Z}, \quad \varrho_k = \frac{1}{T} \int_{-T_h}^{T_h} x(t) e^{-jk w_0 t} dt$$

(formula di analisi)

• Si è poi, per $M \in \mathbb{Z}^+$, $x_M(t) = \sum_{k=-M}^M \varrho_k e^{jk w_0 t}$

Allora x_M converge a x in norma, cioè

$$\|x - x_M\| \xrightarrow[M \rightarrow \infty]{} 0$$

SENZA DIMOSTRAZIONE

Discussione Il Teorema R.-F. definisce la serie di Fourier per i segnali periodici e energia finita

La "formula di analisi" permette di calcolare il segnale $\varrho: \mathbb{K} \rightarrow \mathbb{C}$ che è un segnale t. d.

Si scrive anche $X \Rightarrow \varrho_k$

Mostriamo che $\|x\|_2 \leq \|x\|$, o.c. esiste finito.

[7]

$$|\alpha_k| = \left| \frac{1}{T} \int_{-T/2}^{T/2} x(t) e^{-j\omega_0 k t} dt \right| \leq \frac{1}{T} \int_{-T/2}^{T/2} |x(t)| dt < +\infty$$

perche' $x \in L^2(-\frac{T}{2}, \frac{T}{2}) \Rightarrow x \in L^1(-\frac{T}{2}, \frac{T}{2})$

In effetti gli α_k sono i coeff. delle proiezione ortogonale di x su $\{\varphi_k\}$:

I coeff. si calcolano come

$$\begin{aligned} &\langle x, \varphi_k \rangle \\ &\langle \varphi_k, \varphi_k \rangle \end{aligned}$$

Ma $\langle \varphi_k, \varphi_k \rangle = T$

$$\text{e } \langle x, \varphi_k \rangle = \int_{-T/2}^{T/2} x(t) \overline{\varphi_k(t)} dt = \int_{-T/2}^{T/2} x(t) e^{-j\omega_0 k t} dt$$

quindi effettivamente $\alpha_k = \frac{\langle x, \varphi_k \rangle}{\langle \varphi_k, \varphi_k \rangle}$

Allora consideriamo il limite se $M \rightarrow +\infty$ di x_M :

$$\sum_{k=-\infty}^{+\infty} \alpha_k e^{jk\omega_0 t}$$

(formula di sintesi)

Tale formula è detta serie di Fourier del segnale x o anche formula di sintesi.

Il Teorema R.-F. ci dice che la SdT converge a x "quasi ovunque".

Infatti l'errore ha norma nulla. Però questo non ancora lo

Riconverso: $x \in L^2(-\frac{T}{2}, \frac{T}{2})$,

[8]

$$c_k = \frac{1}{T} \int_{-\frac{T}{2}}^{\frac{T}{2}} x(t) e^{-jk\omega_0 t} dt$$

Formule di analisi

$$x(t) = \sum_{k=-\infty}^{+\infty} c_k e^{jk\omega_0 t}$$

Formule di sintesi

dove l'uguale nella formula di sintesi è da intendere "quasi ovunque" (cioè escluso al più un insieme di misura nulla)

Quindi $\{c_k\}_{k \in \mathbb{Z}}$ è effettivamente una base

per $L^2(-\frac{T}{2}, \frac{T}{2})$ perché ogni sua regolare si scrive come combinazione lineare di elementi di $\{c_k\}_{k \in \mathbb{Z}}$ (formula di sintesi)

Serie di Fourier per segnali periodici

Se x è periodico di periodo T e se $\int_{-\frac{T}{2}}^{\frac{T}{2}} |x(t)|^2 dt < +\infty$ allora possiamo calcolare i coeff. di Fourier con le formule di analisi.

Inoltre la formula di sintesi coincide con $x(t)$ se $t \in (-\frac{T}{2}, \frac{T}{2})$, mentre tale formula ha senso anche per ogni $t \in \mathbb{R}$. Infine la formula di sintesi

produce un segnale periodico di periodo T ,
perché tutti i φ_k , visti in \mathbb{R} , sono periodici di periodo T

L 9

Quindi in conclusione, le formule di Fourier e non tennero
conto e volgono come tali per qualunque segnale periodico
con energia finita in un periodo.

La convergenza però non è puntoale, ma "quasi ovunque"

Identità di Parseval

Se $x \in L^2(-T_h, T_h)$ e $X = \varphi_n$ (cioè $\varphi_n = \frac{1}{T} \int_{-T_h}^{T_h} x(t) e^{-j k_n \omega t} dt$)

allora $\varphi \in l^2(\mathbb{Z})$ e

$$\|\varphi\|_2^2 = \frac{1}{T} \|x\|_2^2 \quad \text{Identità di Parseval}$$

SENZA DIM.

Osservazione. L'identità di Parseval n'può servire anche:

$$\sum_{k=-\infty}^{+\infty} |\varphi_k|^2 = \frac{1}{T} \int_{-\frac{T}{2}}^{\frac{T}{2}} |x(t)|^2 dt$$

Teorema di Dirichlet

E' l'estensione del Teorema di R.-F. al caso L^1

se 1) $x \in L^1(-T/2, T/2)$

2) In $(-T/2, T/2)$, x ha un numero finito di max e min

3) Nell'intervallo $(-T/2, T/2)$, il segnale x

è continuo tranne per un numero finito di punti
dove sono discontinuità di salto (cioè no ointoti)

Allora possiamo definire i coeff. di Fourier:

$$a_k = \frac{1}{T} \int_{-T/2}^{T/2} x(t) e^{-jk\omega_0 t} dt$$

Si ha che $|a_k| < \infty$ e inoltre la
serie di Fourier converge puntualmente:

$\forall t \in (-\frac{T}{2}, \frac{T}{2})$,

$$\sum_{k=-\infty}^{+\infty} a_k e^{jk\omega_0 t} = \frac{x(t^+) - x(t^-)}{2}$$

x(t)
dove è
continuo

"medio"
nei punti
di salto

Senso dimostrazione

Estensione ai segnali periodici

Il Teorema di Dirichlet non si estende ai segnali periodici
non integrabili su di un periodo.

L'estensione è formalmente identica al caso R.-F.

Quindi per tali segnali si può usare la formula di integrazione
senso puntuale

Esempio / Esercizio

U

Serie di Fourier dell'onda quadra

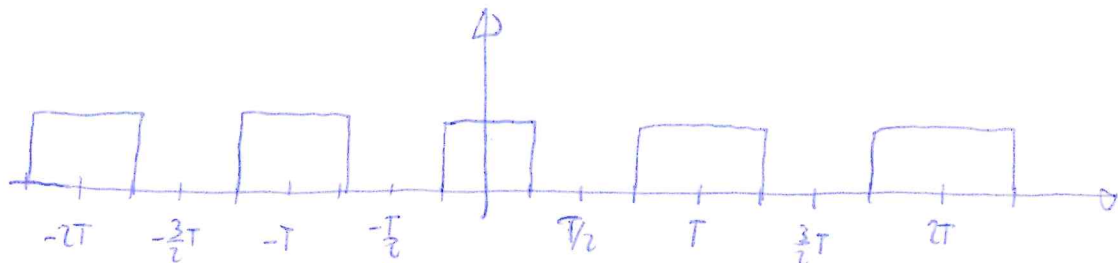
$$\text{Sia } x(t) = \sum_{k \in \mathbb{Z}} E \operatorname{rect}\left(\frac{t - kT}{T/2}\right)$$

- a . Tracciamo il grafico e calcolare il v.m. in un periodo
- b . Verificare che $x \in L^1 \cap L^2 (-T/2, T/2)$
- c . Calcolare i coefficienti di Fourier
- d . Discutere il tipo di convergenza

Soluzione

- a) si tratta del segnale $\operatorname{rect}\left(\frac{t}{T/2}\right)$ replicato con periodo T
 (infatti al posto di t c'è $t-kT$ e poi c'è la somma su k)

Tracciamo prima un rect di durata $T/2$ centrato in zero;
 poi facciamo replicate centrata in $T, -T, 2T, -2T$ ecc



Onde quadra "efficace nel tempo" $\Rightarrow m_x\left[-\frac{T}{2}, \frac{T}{2}\right] = 1/2$

b) È immediato, perché x è limitata quindi appartenente a L^∞ , L^1 e C^2 . (n)

Quindi la SDF converge q.a. (L^2) ma anche puntualmente in tutti i punti escluse le discontinuità, dove converge a $\frac{1}{2}$.

c) Per calcolare i coeff. di Fourier basta usare le formule di analisi

$$\varrho_k = \frac{1}{T} \int_{-\frac{T}{2}}^{\frac{T}{2}} x(t) e^{-jk\omega_0 t} dt$$

Osserviamo che $\omega_0 = \frac{2\pi}{T}$

Inoltre, in $(-\frac{T}{2}, \frac{T}{2})$ $x(t)$ si scrive semplicemente come $\text{rect}\left(\frac{t}{T/2}\right)$
cioè la funzione indicatrice di $(-\frac{T}{2}, \frac{T}{2})$

$$\varrho_k = \frac{1}{T} \int_{-\frac{T}{2}}^{\frac{T}{2}} e^{-jk\frac{2\pi}{T}t} dt$$

$$\text{Se } k=0, \quad \varrho_0 = \frac{1}{T} \int_{-\frac{T}{2}}^{\frac{T}{2}} dt = \frac{1}{T} \frac{T}{2} = \frac{1}{2}$$

$$\text{Se } k \neq 0, \quad \varrho_k = \frac{1}{T} \left[\frac{e^{-jk\frac{2\pi}{T}t}}{-jk\frac{2\pi}{T}} \right]_{t=-\frac{T}{2}}^{t=\frac{T}{2}} = \frac{1}{k\pi} \frac{e^{jk\frac{\pi}{2}} - e^{-jk\frac{\pi}{2}}}{2j}$$

$$= \frac{1}{k\pi} \sin(k\frac{\pi}{2})$$

$\sin(k\frac{\pi}{2})$ vale 0 se k è pari, ±1 se k è dispari.

$$k = m+1 \rightarrow \sin((m+1)\pi) = \sin(m\pi + \pi) = \cos(m\pi) = (-1)^m$$

In conclusione

(13)

$$\alpha_k = \begin{cases} 1/2 & \text{per } k=0 \\ 0 & \text{per } k \text{ pari diverso da zero} \\ \frac{(-1)^m}{(2m+1)\pi} & \text{per } k=2m+1 \end{cases}$$

Quindi la serie è $\frac{1}{2} + \frac{1}{\pi} \sum_{m \in \mathbb{Z}} \frac{(-1)^m}{2m+1} e^{j(2m+1) \frac{2\pi}{T} t}$

d) La convergenza è no "di tipo L^2 " cioè quasi ovunque sia di tipo puntuale, perché x è derivabile e finita. Nei punti di salto, cioè $t = \frac{k}{2} + \frac{1}{2}$, la serie converge al valor medio fra limiti sx e dx, cioè a $1/2$.

Proprietà dei coefficienti Fourier

Nel seguito, ipotizziamo che il segnale x soddisfa le ipotesi di Riesz-Fisher o di Dirichlet.

Scriviamo $X \Rightarrow \alpha_k$ per indicare che gli α_k sono i coeff. di Fourier di x , cioè $\alpha_k = \frac{1}{T} \int_{T/2}^{T/2} x(t) e^{-jk\omega_0 t} dt$

Scriviamo $R(x)$ per indicare il segnale ribaltato: $R(x)(t) = x(-t)$ analogamente $R(\alpha)$ è il ribaltato dei coeff.: $R(\alpha)(k) = \alpha_{-k}$

Per la maggior parte delle proprietà seguenti la dimostrazione si ottiene applicando la definizione di c.d.F (coeff. d'Fourier).

$$1) \text{ Coniugio: } X \Rightarrow \overline{R(e)}$$

114

Ora i c.d.F. di \bar{x} si ottengono ribaltando e coniugando quelli di x

Allora, se x è reale, $X = \bar{X} \Rightarrow e = \overline{R(e)}$ (simmetria numerica)

$$2) R(x) \Rightarrow R(e)$$

cioè se ribalto x , anche i c.d.F. risultano ribaltati

$$3) S_x(x) \Rightarrow e$$

cioè, cambiando solo i c.d.F. non cambiano

Attenzione però cambia (ovviamente) le formule di riferimento

$$S_x(x)(t) = \sum_{k=-\infty}^{+\infty} \alpha_k e^{-jk\omega_a t}$$

$$\omega_a = \alpha \frac{2\pi}{T}, \text{ perché il periodo di } S_x(x) \text{ è } \left(-\frac{T}{2\alpha}, \frac{T}{2\alpha}\right)$$

4) Traslazione

$$U_\beta[x] \Rightarrow e^{-jkw_0\beta} \alpha_k$$

$$\begin{cases} s=t-\beta \\ t=s+\beta \end{cases}$$

$$\text{Infatti } \int_{-T_2}^{T_2} x(t-\beta) e^{-jkw_0 t} dt = \int_{-T_2-\beta}^{T_2-\beta} x(s) e^{-jkws} e^{-jkw_0\beta} ds$$

$$= \left(\int_{-T_2}^{T_2} x(s) e^{-jkws} ds \right) \cdot e^{-jkw_0\beta} = \alpha_k e^{-jkw_0\beta} \quad \text{CVD}$$

per periodi intesi, poniamo
combinare l'intervallo d'integrazione

5) Modulazione $e^{jM\omega_0 t} \cdot X(t) \Rightarrow U_M(e)$ (15)

Cioè i coeff. b_k di $e^{jM\omega_0 t} x(t)$ sono $b_k = Q_{k-M}$

6) Derivazione (se x è derivabile)

$$x' \Rightarrow j\kappa \omega_0 Q_\kappa$$

7) Simmetrie $X \Rightarrow a$

reale	hermitiano
imm.	anti-hermitiano
puri	puri
despuri	despuri
hermitiano	reale
anti-hem.	immag
reale puri	reale puri

8) Linearietà: $\alpha x_1 + \beta x_2 \Rightarrow \alpha Q_{1,k} + \beta Q_{2,k}$

9) Valori in p In corso di convergenza puntuale,

$$X(0) = \sum_{k=-\infty}^{+\infty} Q_k e^{jk\omega_0 t} \Big|_{t=0} = \sum_{k=-\infty}^{+\infty} Q_k$$

10) Valor medio

$$Q_0 = \frac{1}{T} \int_{-T/2}^{T/2} x(t) e^{-j\omega_0 t} dt = M_{[-T/2, T/2]}[x]$$

Forma Trigonometrica della Serie di Fourier

[16]

Usando le formule di Euler, scriviamo la SdF in forma Trigonometrica

$$\begin{aligned}
 \sum_{k=-\infty}^{+\infty} \alpha_k e^{j k \omega_0 t} &= \alpha_0 + \sum_{k=1}^{+\infty} \alpha_k e^{j k \omega_0 t} + \sum_{k=1}^{+\infty} \alpha_{-k} e^{-j k \omega_0 t} \\
 &= \alpha_0 + \sum_{k=1}^{+\infty} \alpha_k [\cos(k\omega_0 t) + j \sin(k\omega_0 t)] + \alpha_{-k} [\cos(k\omega_0 t) - j \sin(k\omega_0 t)] \\
 &= \alpha_0 + \sum_{k=1}^{+\infty} (\alpha_k + \alpha_{-k}) \cos k\omega_0 t + j(\alpha_k - \alpha_{-k}) \sin(k\omega_0 t) \\
 &= \boxed{\alpha_0 + \sum_{k=1}^{+\infty} \alpha_k \cos(k\omega_0 t) + \beta_k \sin(k\omega_0 t)} \quad \boxed{\text{SdF in forma trigonometrica}}
 \end{aligned}$$

dove $\alpha_k = \alpha_k + \alpha_{-k}$ e $\beta_k = j(\alpha_k - \alpha_{-k})$

Caso di segnale reale

$$\text{Se } x \text{ è reale, } \alpha_{-k} = \int_{-T/2}^{T/2} x(t) e^{j k \omega_0 t} dt = \overline{\int_{-T/2}^{T/2} x(t) e^{-j k \omega_0 t} dt} = \overline{\alpha_k}$$

Sempre per x reale,

$$\text{Allora } \alpha_k = \alpha_k + \alpha_{-k} = \alpha_k + \overline{\alpha_k} = 2 \operatorname{Re}(\alpha_k) = 2 |\alpha_k| \cdot \cos \angle \alpha_k$$

$$\text{e } \beta_k = j(\alpha_k - \alpha_{-k}) = j(\alpha_k - \overline{\alpha_k}) = j \cdot (2j \operatorname{Im}(\alpha_k)) = -2 \operatorname{Im}(\alpha_k) = -2 |\alpha_k| \sin \angle \alpha_k$$

Allora la SdF in forma Trigonometrica diventa

$$\sum_{k=-\infty}^{+\infty} \varrho_k e^{jk\omega t} = \varrho_0 + 2 \sum_{k \geq 1} |\varrho_k| \cos(\angle \varrho_k) \cdot \cos(k\omega t) +$$

[17]

$$+ |\varrho_k| \sin(\angle \varrho_k) \sin(k\omega t)$$

$$= \varrho_0 + 2 \sum_{k \geq 1} |\varrho_k| \cos(k\omega t + \angle \varrho_k)$$

Questa è la SdF in forma Trigonometrica per segnali reali

Dall'espressione delle SdF in forma Trigonometrica segue che gli iperî generati dai $\{\varrho_k\}_k$ e da $\{1, \cos k\omega t, \sin k\omega t\}_k$ coincidono

Esercizio Scrivere le SdF dell'onda quadra in forma Trigonometrica

Sappiamo che per l'onda quadra

$$\varrho_k = \begin{cases} 1/2 & \text{se } k=0 \\ 0 & \text{se } k=2m \neq 0 \\ \frac{(-1)^m}{(2m+1)\pi} & \text{se } k=2m+1 \end{cases}$$

Allora $|\varrho_k| = \begin{cases} 1/2 & \text{se } k=0 \\ 0 & \text{se } k=2m \\ \frac{1}{(2m+1)\pi} & \text{se } k=2m+1 \end{cases}$

non c'è bisogno di usare l'1· perché k (e quindi $2m+1$) sono stati posti

$$\angle \varrho_k = 0 \text{ se } m = \frac{k-1}{2} \text{ pari}; \text{ mentre } \angle \varrho_k = \pi \text{ se } m = \frac{k-1}{2} \text{ è dispari} \text{ e non disponibile}$$

$$\Rightarrow \cos(k\omega t + \angle \varrho_k) = \cos((2m+1)\omega t) + \cos((2m+1)\omega t + \pi) = -\cos((2m+1)\omega t)$$

Allora l'onda quadra è data da:

$$\frac{1}{2} + \frac{2}{\pi} \sum_{m \geq 0} \frac{(-1)^m}{2m+1} \cos((2m+1)\omega t)$$

→ demo Mathematica

Cioè nonostante non to l'ant. d'onda in $t=0$ è $= \infty$

Fenomeno di Gibbs. Il punto d'arrivo max a origine si fa, ma lo ha ampiato. Tende a un valore non nullo.

Serie di Fourier del Treno d'impulsi

[18]

Si consideri il segnale $p(t) = \text{rep}_{\text{pt}}[\delta](t) = \sum_{k=-\infty}^{+\infty} \delta(t-kT)$

detto Treno d'impulsi (impulsi centinati su kT $\forall k \in \mathbb{Z}$)

Osserviamo che, dato un segnale x , se $x * p$ converge è pari a:

$$\begin{aligned} x * p &= x * \sum_k U_{kT}[\delta] = \sum_k x * U_{kT}[\delta] \\ &= \sum_k U_{kT}[x] = \text{rep}_{\text{pt}}[x] \end{aligned}$$

Vogliamo mostrare che anche p possiede uno sviluppo in SdF.

$$\sum_{k=-\infty}^{+\infty} \delta(t-kT) = \frac{1}{T} \sum_{k=-\infty}^{+\infty} e^{jk\omega_0 t} \quad (\text{cioè } Q_k = 1)$$

Ma che senso ha questo identità?

Non puntuale, perché le serie a dx non è convergente

Come al solito, il senso è legato alle proprietà del compionimento

Portiamo dal calcolo della SdF di p

$$\begin{aligned} Q_k &= \frac{1}{T} \int_{-T/2}^{T/2} \sum_{k=-\infty}^{+\infty} \delta(t-kT) e^{-jk\omega_0 t} dt = \frac{1}{T} \int_{-T/2}^{T/2} s(t) e^{-jk\omega_0 t} dt = \\ &= \frac{1}{T} \int_{-\infty}^{+\infty} s(t) \text{rect}(t/T) e^{-jk\omega_0 t} dt = \frac{1}{T} \text{rect}\left(\frac{\omega_0}{T}\right) e^{-jk\omega_0 \cdot 0} = \frac{1}{T} \end{aligned}$$

Ora mostriamo che se $\{v \in L^2(-T/2, T/2)\}$ vole il compionimento:

$$\int_{-T/2}^{T/2} p(t) v(t) dt = V(0)$$

dove voleva anche usando la SdF di $p(t)$

$$\int_{-T/2}^{T/2} p(t) v(t) dt = \int_{-T/2}^{T/2} \sum_k \delta(t - kT) v(t) dt = \int_{-T/2}^{T/2} \delta(t) v(t) dt$$

(19)

$$= \int_{-T/2}^{T/2} \delta(t) \operatorname{rect}\left(\frac{t}{T}\right) v(t) dt = \operatorname{rect}\left(\frac{0}{T}\right) v(0) = V(0)$$

$$\int_{-T/2}^{T/2} \frac{1}{T} \sum_k e^{jk\omega_0 t} v(t) dt = \sum_{k=-\infty}^{+\infty} \frac{1}{T} \int_{-T/2}^{T/2} v(t) e^{jk\omega_0 t} dt$$

$$= \sum_{k=-\infty}^{+\infty} b_k = V(0)$$

per le prop. del valore in zero, che poniamo applicare perché v soddisfa le ip del Teorema di Dirichlet

Quindi avere $p(t)$ o avere $\sum_k \frac{1}{T} e^{jk\omega_0 t}$
è equivalente. In questo caso $p(t) = \sum_k \frac{1}{T} e^{jk\omega_0 t}$

Convoltione periodica

Siano v, w periodici di periodo T e con energia finita in un periodo, cioè $v, w \in L^2(-T/2, T/2)$
(potrebbe più precisamente la restrizione di v e w è in $L^2(T/2, T/2)$)

Introduciamo la convoltione in $(-T/2, T/2)$ (o conv. periodica).
La convoltione in $(-T/2, T/2)$ di v e w è un segnale z indicato come $z = v *_{T/2} w$ e tale che,

$$\forall t \in (-T/2, T/2) \quad z(t) = \int_{-T/2}^{T/2} v(\tau) w(t-\tau) d\tau$$

z è ovviamente periodico di periodo T : per le periodicità di v e w

$$z(t+T) = \int_{-T/2}^{T/2} v(\tau) w(t+T-\tau) d\tau = \int_{-T/2}^{T/2} v(\tau) w(t-\tau) d\tau = z(t)$$

Relazione fra convoluzione e SDF

[20]

Siano $x, y \in L^2(-T_h, T_h)$, n. $x \Rightarrow a_k, y \Rightarrow b_k$

$$\text{Sia } z(t) = x(t) \cdot y(t)$$

Allora $\exists z \in L^1(-T_h, T_h)$

1) I suoi c.d.F esistono

2) Detti c_k Poli cdf si ha $c = a * b$ cioè $c_k = \sum_m a_m b_{k-m}$

DIM 1) Applichiamo la dis. di Cauchy-Schwarz a $|x|, |y|$ che appartengono anch'essi a $L^2(-T_h, T_h)$

$$|\langle |x|, |y| \rangle| \leq \|x\|_2 \cdot \|y\|_2$$

$$\left| \int_{-T_h}^{T_h} |x(t)| |y(t)| dt \right| = \left| \int_{-T_h}^{T_h} |z(t)| dt \right| = \int_{-T_h}^{T_h} |z(t)| dt \Rightarrow z \in L^1\left(-\frac{T_h}{2}, \frac{T_h}{2}\right)$$

2) e 3) Senza D(M)

Ora mostriamo che la convoluzione periodica corrisponde ad un prodotto dei coefficienti di Fourier.

Più precisamente, siano $x, y \in L^1(-T_h, T_h)$ e Poli da soddisfare le ip del Teorema di Dirichlet.

Siano a_k e b_k i CdF di x e y rispettivamente.

Allora, detto $z = x *_p y$ e $z \Rightarrow c_k$, n. ho

$$\forall k \in \mathbb{Z}, c_k = T \cdot a_k \cdot b_k$$

$$\text{o, in altre parole, } z(t) = T \sum_k a_k b_k e^{j k \omega t}$$

DIM. Partendo dalla def. di convoluzione periodica,
ovviamo scrivere z come serie di Fourier.

[21]

Innanzitutto si può mostrare che nelle ipotesi date, z è continua

Poi si ha

$$\begin{aligned}
 z(t) &= \int_{-T/2}^{T/2} x(\tau) y(t-\tau) d\tau = \int_{-T/2}^{T/2} \sum_{k=-\infty}^{+\infty} a_k e^{jk\omega_0 \tau} \sum_{n=-\infty}^{+\infty} b_n e^{jn\omega_0(t-\tau)} d\tau \\
 &= \sum_{k=-\infty}^{+\infty} \sum_{n=-\infty}^{+\infty} a_k b_n e^{jn\omega_0 t} \int_{-T/2}^{T/2} \bar{q}_k(\tau) \bar{q}_n(\tau) d\tau \\
 &= \sum_{k=-\infty}^{+\infty} \sum_{m=-\infty}^{+\infty} a_k b_m e^{jk\omega_0 t} T \delta(n-k) \\
 &= \sum_{k=-\infty}^{+\infty} T a_k b_k e^{jk\omega_0 t} \quad \text{CVD}
 \end{aligned}$$

Sistema LTI in regime periodico

Già sappiamo che un LTI stabile risponde ad un exp imm. puro con lo stesso exp. moltiplicato per $\tilde{h}(w)$.
Se il sistema è reale, risponde ad uno sinusoidale con una sinusoidale allo stesso frequenze.

Se l'ingresso è periodico sappiamo già che l'uscita non è periodica dello stesso periodo.

Adesso possiamo dire qualcosa in più:

Sia x periodico di periodo T e nono. Oggi si vede CDF (22)

Sia L un LTI BIBO. Stabile di risposta impulsiva h

Sia $y = L(x)$ (già sappiamo che y è periodico)

In queste ipotesi si ha:

a) Se $x \in L^1(-\frac{T}{2}, \frac{T}{2})$ allora y è continuo in $(-\frac{T}{2}, \frac{T}{2})$

b) Se x soddisfa le hp di Dirichlet

allora i coeff di F di y sono b_k :

$$\forall k \quad b_k = H(k \frac{2\pi}{T}) \omega_k = H(k \omega_0) \omega_k$$

Inoltre la convergenza della SDF è puntuale

$$y(t) = \sum_{k=-\infty}^{+\infty} \omega_k H(k \omega_0) e^{j k \omega_0 t}$$

c) Se $x \in L^2(-T_h, T_h)$, $y \in L^2(-T_h, T_h)$ e

$$E_{(-T_h, T_h)}[y] = T \sum_{k=-\infty}^{+\infty} |H(j k \omega_0)|^2 |\omega_k|^2$$

$$E_{(-\frac{T}{2}, \frac{T}{2})}[y, x] = T \sum_{k=-\infty}^{+\infty} H(j k \omega_0) |\omega_k|^2$$

DIM.

a) È possibile dimostrare che, se $x, h \in L^1(-\frac{T}{2}, \frac{T}{2})$

allora $x * h \in C^0(-\frac{T}{2}, \frac{T}{2})$

SENZA DIM.

$$b) x(t) = \sum_{k=-\infty}^{+\infty} a_k e^{jk\omega_0 t}$$

$$\mathcal{L}[x](t) = \sum_{k=0}^{+\infty} a_k \mathcal{L}[e^{jk\omega_0 t}] = \sum_{k=-\infty}^{+\infty} a_k H(jk\omega_0) e^{jk\omega_0 t} \quad CVD$$

c) Senza DIM.

Filtri ideali

Un segnale periodico reale può scrivere come

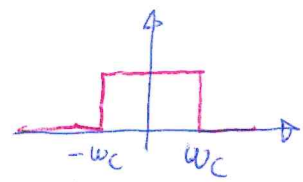
$$x(t) = a_0 + 2 \sum_{k \geq 1} |a_k| \cos(k\omega_0 t + \angle a_k)$$

Se x è un ingresso ad un LTI stabile reale, l'uscita è $y = \mathcal{L}(x)$ e

$$y(t) = H(0)a_0 + 2 \sum_{k \geq 1} |H(k\omega_0)| |a_k| \cos(k\omega_0 t + \angle a_k + \angle H(k\omega_0))$$

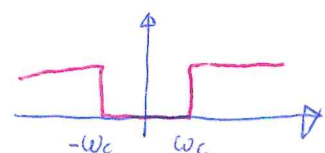
Allora l'andamento di $|H(\omega)|$ permette di capire come il sistema "tratta" le diverse frequenze

Si definisce filtro puro basso ideale un sistema con RF $H_{LP}(\omega) = \text{rect}\left(\frac{\omega}{2w_c}\right)$

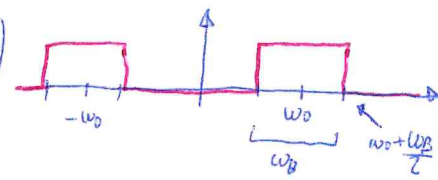


w_c è detta pulsazione di taglio ("c" sta per "cut")

Filtro puro alto ideale: $H_{HP}(\omega) = 1 - \text{rect}\left(\frac{\omega}{2w_c}\right)$



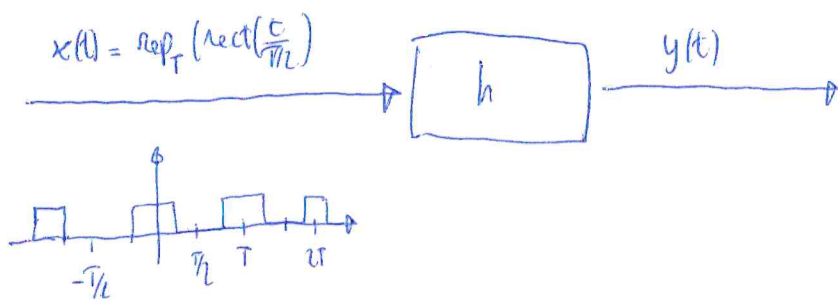
Filtro passabanda ideale: $H_{BP}(\omega) = \text{rect}\left(\frac{|w-w_0|}{w_B}\right)$



Filtro eliminatore ideale: $H_{RB}(\omega) = 1 - \text{rect}\left(\frac{|w-w_0|}{w_B}\right)$

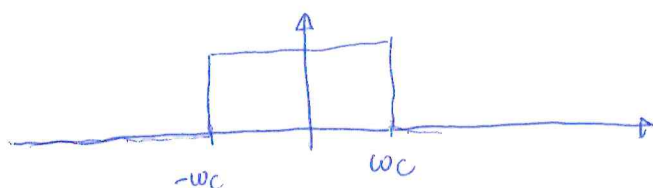
(23)

Interpretazione grafica del filtraggio



$$\text{Se } H(w) = H_{LP}(w)$$

noti che $\angle H(w) = 0$



Dopo il filtraggio resteranno solo le componenti corrispondenti a $|kw_0| < w_c$ cioè solo $|k| < \frac{w_c}{w_0}$

$$y(t) = \frac{1}{2} + \sum_{\substack{k \geq 1 \\ |k| < \frac{w_c}{w_0}}} |k| e_k \cos(kw_0 t + \angle \varphi_k)$$

$$= \frac{1}{2} + \sum_{m \geq 1} \frac{2(-1)^m}{(2m+1)\pi} \cos((2m+1)w_0 t)$$

$2m+1 < \frac{w_c}{w_0}$